

ساخت غشای الیاف توخالی پلی‌سولفون و اثر حلال و فاصله هواپی بر شکل‌شناسی آن

Fabrication of Polysulfone Hollow Fiber Membrane and Effects of Solvent and Air-gap on its Morphology

سید عباس موسوی، مهدی پورافشاری چنان^{*}، مرتضی صادقی، عباسعلی احمدیان

تهران، پژوهشگاه پلیمر و پتروشیمی ایران، مرکز رشد فناوری پلیمر، شرکت پارسیان پویا پلیمر، صندوق پستی ۱۴۹۶۵۱۱۵

دریافت: ۸۴/۱۲/۲ پذیرش: ۸۵/۴/۱۳

چکیده

در این پژوهش، برای اولین بار در ایران، غشاهای الیاف توخالی پلی‌سولفون به روش وارونگی فاز مرطوب - خشک ساخته شد. سپس آثار فاصله هواپی و نوع حلال بر ساختار غشاها ساخته شده بررسی شد. اثر نوع حلال بر ساختار غشای الیاف توخالی با حللهای دی‌متیل فرمامید و N-متیل پیرولیدون و بررسی شکل‌شناسی غشا به روش میکروسکوپی الکترون پویشی انجام شد. استفاده از حلال N-متیل پیرولیدون در ساخت محلول پلی‌سولفون منجر به لایه‌های سطحی با خلل و فرج انگشتی در ساختار غشا شد، درحالی‌که الیاف ساخته شده از محلول پلی‌سولفون در حلال دی‌متیل فرمامید لایه‌های سطحی با ساختار اسفنجی شکل دارند. تفاوت در شکل‌شناسی غشا پلی‌سولفون در حلال N-متیل پیرولیدون و دی‌متیل فرمامید ناشی از تفاوت در قابلیت انحلال‌پذیری و مقدار برهمکنش حلال - ضدحلال بکار رفته است که با مقدار پارامتر انحلال‌پذیری هانسن توضیح داده شد. در ضمن، مشاهده شد که با افزایش فاصله هواپی، قطر خارجی الیاف و نیز تخلخل ایجاد شده در لایه‌های سطحی الیاف کاهش یافته، در نتیجه تراکم سطح بیرونی الیاف افزایش می‌یابد.

واژه‌های کلیدی

غشا، الیاف توخالی،
فاصله هواپی، نوع حلال،
وارونگی فاز

مقدمه

برای جداسازی گازها، به طور گسترده به سمت تولید غشاهای الیاف توخالی متمایل شده و تاکنون واحدهای تولید غشا بسیار زیادی نصب و بهره برداری شده‌اند. از میان شرکتها و گروههای فعال در زمینه ساخت، توسعه و راه‌اندازی سامانه‌های غشاگیری مبتنی بر

الیاف توخالی به لوله‌های موین با قطر کمتر از ۱ mm اطلاق می‌شود که در آنها جداره الیاف به عنوان سطح گرینش‌پذیر عمل می‌کند. این نوع غشاها به دلیل اشغال حداقل فضا و نسبت سطح به حجم بسیار زیاد بیشتر مورد توجه قرار گرفته‌اند. صنعت تولید غشا، به ویژه تولید غشا

Key Words

membrane, hollow fibers,
air gap, solvent type,
phase inversion

دی‌متیل استامید و دی‌متیل فرمامید و ضد حلالهای آب و گروهی از الكلها بررسی شد [۱۶، ۱۷]. ارزیابی نتایج نشان می‌دهد که با افزایش برهمکنش بین حلال و ضد حلال قابلیت انحلال‌پذیری حلال در محلول پلیمر کاهش یافته، وارونگی فاز سریعتر اتفاق می‌افتد. همچنین، مشخص شد که به علت آبگریز بودن پلی‌سولفون، حلال N - متیل پیروولیدون به علت قطبیت کمتر نسبت به دی‌متیل استامید حلال کارامدتری برای این پلیمر محسوب شده، انعقاد پلیمر در مقادیر بیشتری از ضد حلال اتفاق می‌افتد.

در راستای پژوهش سایر پژوهشگران، در این پژوهش برای اولین بار در ایران غشاءای الیاف توخالی پلی‌سولفون ساخته شد، اثر نوع حلال با انتخاب حلالهای N - متیل پیروولیدون و دی‌متیل فرمامید و اثر فاصله هوایی بر ساختار نهایی غشا بررسی شد.

تجربی

مواد و دستگاهها

در این پژوهش، از پلی‌سولفون با نام تجاری Ultrason[®] محصول شرکت BASF آلمان با مشخصات فیزیکی ارائه شده در جدول ۱، همچنین حلالهای دی‌متیل فرمامید تجاری و N - متیل پیروولیدون محصول شرکت Merck و آب مقطر یک بار تقطیر شده به عنوان ضد‌حلال استفاده شد.

بررسی شکل‌شناسی غشاهای تولیدی به وسیله میکروسکوپ الکترون پویشی (SEM) مدل XL³⁰ ساخت شرکت Philips کشور هلند انجام شد. نمونه‌های غشا ابتدا در نیتروژن مایع در مقطع عرضی شکسته شده، سپس لایه‌ای بسیار نازک به ضخامت Å ۲۵۰ از فلز طلا روی سطح مورد مطالعه پوشش داده شد.

روشها

ساخت و بررسی غشا

ساخت غشا الیاف توخالی با فرایнд وارونگی فاز خشک - مرطوب انجام شد، برای این منظور در ابتدا محلول ۱۷ درصد وزنی پلیمر در حلالهای

جدول ۱ مشخصات فیزیکی پلی‌سولفون استفاده شده در این پژوهش.

M_w/M_n	متوسط وزن مولکولی (g/mol)	گرانروی (mL/g)	دمای انتقال (°C) شیشه	چگالی (g/cm ³)
۴-۵	۴۵۰۰۰-۵۵۰۰۰	۸۱	۱۸۷	۱۷۴

Air Products مدل‌های الیاف توخالی می‌توان به شرکت‌های بزرگی چون Air Liquid, Praxair, Kvaerner, Generon و Natco اشاره کرد. در کنار توسعه کاربردهای الیاف توخالی و تجاری‌سازی، فعالیتهای پژوهشی زیادی نیز روی این نوع از غشاهای متمرکز شده است. عمدۀ این پژوهشها بر دو محور متمرکز شده است:

- انتخاب مواد پلیمری جدید برای ساخت غشا، به منظور دستیابی به تراوایی و گزینش پذیری زیاد و

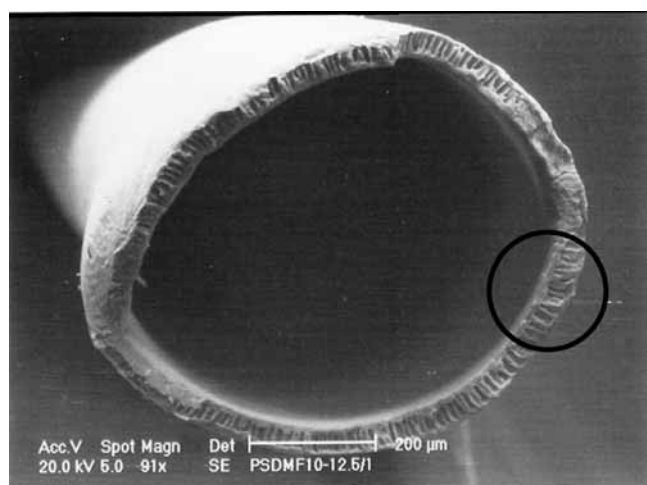
- بررسی اثر شرایط عملیاتی ساخت غشا، برای حصول ساختارهایی با ضخامت کمتر لایه چگال و افزایش تراوایی غشا.

از جمله فعالیتهای پژوهشی انجام شده در این دو زمینه می‌توان به بررسی اثر عواملی مانند نوع پلیمر [۱-۳]، ترکیب اجزای محلول پلیمری [۴، ۵]، سرعت جامد شدن پلیمر [۶] و اثر افزودنیها [۷، ۸] اشاره کرد.

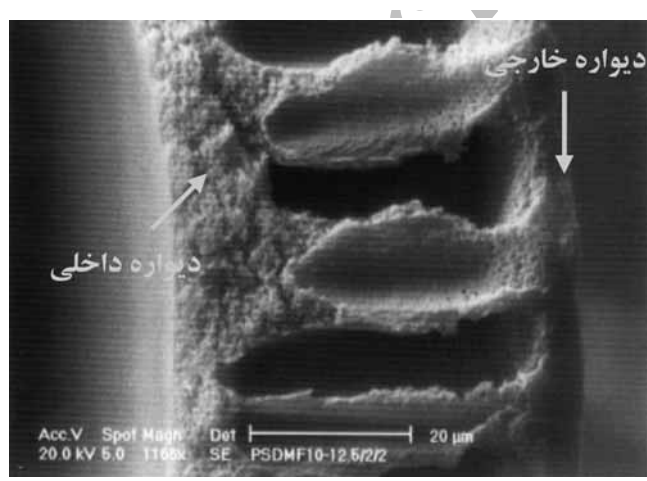
نوع حلال بکار رفته در ساخت محلول پلیمری، ترکیب محلول (نوع افزودنیها) و فاصله هوایی در فرایند وارونگی فاز خشک - مرطوب از عوامل مهم اثرگذار بر ساختار و کارایی غشاهای الیاف توخالی محسوب می‌شوند. در چند سال اخیر پژوهش‌های زیادی در زمینه اثر شرایط عملیاتی ساخت غشا بر ساختار و کارایی غشاهای الیاف توخالی از جنس پلی‌اترسولفون انجام شده است [۹-۱۲]. در راستای بررسی اثر فاصله هوایی، مشخص شد که غشاهایی که به روش وارونگی فاز مرطوب ساخته می‌شوند (بدون فاصله هوایی) گزینش پذیری بیشتر و تراوایی کمتری در مقایسه با غشاهای ساخته شده به روش وارونگی فاز خشک - مرطوب (فاصله هوایی ۰/۵ cm) دارند [۱۰]. اثر فاصله هوایی، برای فواصل بیشتر (۱۴/۴ cm) بررسی و مشخص شد که در فواصل بیشتر (بیش از ۰/۵ cm) با افزایش فاصله تراوایی غشا به طور قابل ملاحظه‌ای کاهش می‌یابد. این کاهش تراوایی به کاهش حفره‌های انگشتی (finger-like pores) لایه سطحی نسبت داده شد و به همین علت گزینش پذیری غشا افزایش یافت [۹].

با بررسی اثر فاصله هوایی بر ساختار غشاهای الیاف توخالی از جنس پلی‌اتیمید مشخص شد که اثر فاصله هوایی بستگی به ترکیب محلول (حلال ثانویه، ترکیبات فرآر و ضد‌حلال)، پلیمری دارد. بدین منظور، اثر افزودن حلال ثانویه بر محلول پلیمری و امتزاج پذیری آن با آب و ماده فرآر ارزیابی شد [۱۴]. اثر افزودن تترا هیدروفوران و اتانول به محلول پلی‌سولفون در دی‌متیل استامید نیز بررسی شد. البته این پژوهش بیشتر به اثر اندازه رشتۀ ساز و مدل‌سازی‌های مرطوب متمرکز شده است [۱۵]. در پژوهشی دیگر، اثر نوع حلال و ضد‌حلال بر فرایند وارونگی فاز در پلی‌سولفون و پلی‌اترسولفون با انتخاب حلالهای N - متیل پیروولیدون و دی‌متیل استامید و در پلی‌اترایمید با انتخاب حلالهای N - متیل پیروولیدون،

ساخته شدند. شکل‌های ۲ و ۳ تصاویر SEM از مقطع شکست غشاهای الیاف توخالی حاصل از محلول پلی سولفون در حلال دی متیل فرمامید را به ترتیب برای فواصل هوایی $12/5$ و 25 cm نشان می‌دهند. در هر دو مورد ساختار غشا، اسفنجی شکل همراه با حفره‌های درشت است. مقایسه شکل‌های ۲ (ب) و ۳ (ب) نشان می‌دهد که با افزایش فاصله هوایی، کشیدگی حفره‌های درشت از سمت جداره داخلی به سمت جداره بیرونی بیشتر شده، ضخامت لایه خارجی کاهش و ضخامت لایه داخلی افزایش می‌یابد. همچنین، یکنواختی ضخامت در دیواره داخلی با افزایش فاصله هوایی افزایش می‌یابد. ضخامت متوسط دیواره خارجی و داخلی غشا در فاصله هوایی $12/5\text{ cm}$ به ترتیب برابر با $4/2$ و $7/5\text{ }\mu$ و در فاصله هوایی 25 cm نیز ضخامت متوسط دیواره بیرونی



(الف)



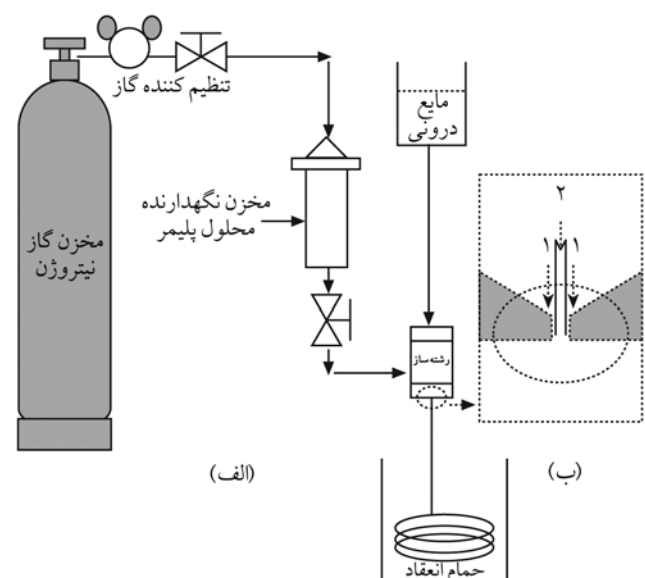
(ب)

شکل ۲ تصویر SEM از مقطع غشای پلی سولفون در دی متیل فرمامید با فاصله هوایی $12/5\text{ cm}$.

دی متیل فرمامید و N - متیل پرولیدون تهیه شد. در غلظت ۱۷ درصد وزنی پلیمر گرانروی محلول بیشتر از 500 cPs بوده که مناسب فرایند وارونگی فاز خشک - مرطوب است [۱۸]. سپس، محلول تهیه شده با اعمال خلا $0/5\text{ bar}$ گازگیری شده، برای ساخت الیاف توخالی به مجموعه ساخت غشا که نمایی کلی آن در شکل ۱ نشان داده شده است، منتقل شد (مخزن نگهدارنده محلول پلیمر)، سپس، محلول پلیمری با اعمال فشار نیتروژن در محدوده $5-15\text{ psia}$ به سمت قطعه رشته ساز جریان یافته، از مسیر ۱ در شکل ۱ (ب) خارج می‌شود. هدایت و تنظیم سرعت جریان آب مقطر (مایع درونی، bore liquid) به سمت رشته ساز نیز با نیروی ثقل و تنظیم ارتفاع آن انجام شد. الیاف خروجی از قطعه پس از طی مسافت لازم ($12/5$ و 25 cm) در هوای آزاد وارد حمام انعقاد شدند. الیاف بدست آمده به مدت حداقل دو روز در آب مقطر باقی ماندند تا خروج حلال از بافت غشا کامل شود. کلاف تهیه شده نیز به مدت یک هفته در دمای محیط خشک شد. ساختار و شکل شناسی غشای تولید شده به روش میکروسکوپی الکترون پویشی بررسی شد.

نتایج و بحث

در این پژوهش، اثر فاصله هوایی و نوع حلال بر شکل شناسی غشاهای الیاف توخالی از جنس پلی سولفون بررسی شد. برای بررسی اثر فاصله هوایی بر ساختار نهایی غشا، نمونه‌هایی با دو فاصله هوایی مختلف

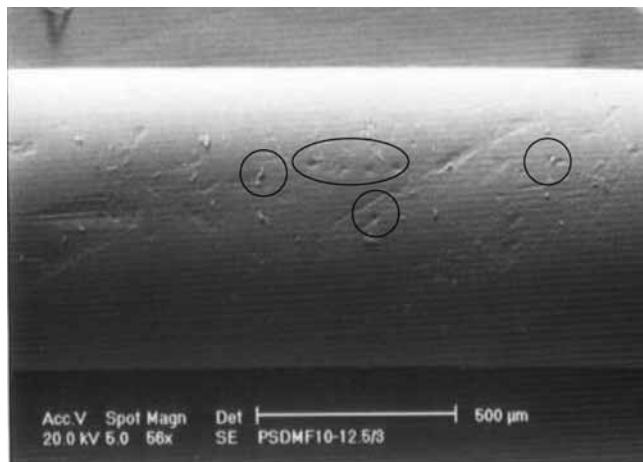


شکل ۱ نمایی کلی از: (الف) تجهیزات ساخت غشای الیاف توخالی و (ب) خروجی قطعه‌ای رشته ساز.

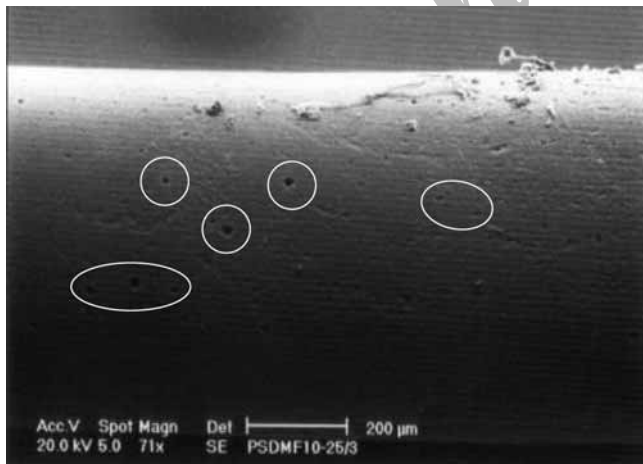
افزایش تعداد هسته‌های فاز رقیق از پلیمر در ساز و کار هسته‌گذاری و رشد در فرایند وارونگی فاز، دیواره بیرونی غشا متراکم تر شده، لایه‌ای چگال در سمت بیرون غشا ایجاد می‌شود [۱۹].

فرایند وارونگی فاز در لایه داخلی بلا فاصله و همزمان با خروج محلول پلیمری از رشتہ‌ساز آغاز می‌شود، جدایی محلول از سمت داخل به خارج در طول مدتی که غشا از فاصله هوای عبور می‌کند، انجام می‌شود [۷].

شکل ۴ تصویر SEM از سطح بیرونی نمونه‌های الیاف توخالی ساخته شده از محلول پلیمر را در دی‌متیل فرمامید و دو فاصله هوای ۱۲/۵ و ۲۵ cm نشان می‌دهد. در سطح بیرونی هر دو غشای ساخته شده نقایصی به شکل حفره‌های ریز وجود دارد. اندازه گیری با SEM نشان



(الف)

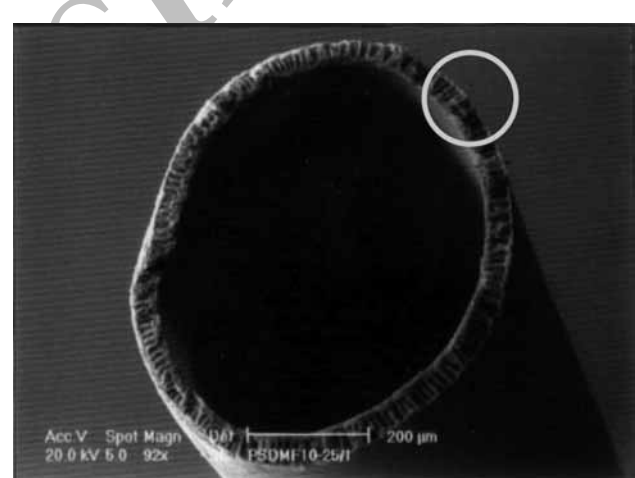


(ب)

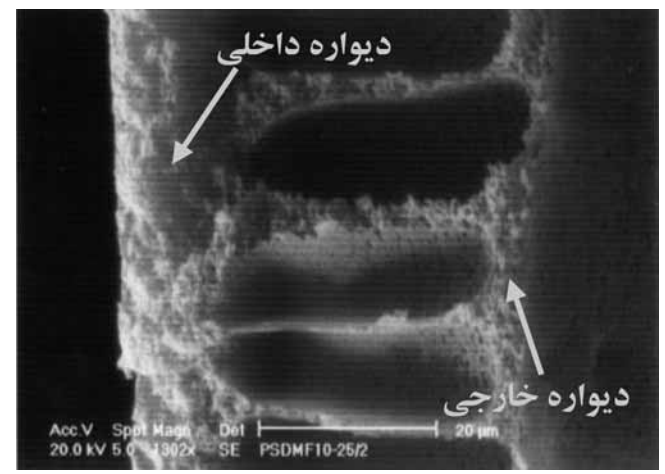
شکل ۴ تصویر SEM از سطح بیرونی الیاف توخالی حاصل از محلول پلی‌سولفون در دی‌متیل فرمامید با فاصله هوای متفاوت: (الف) ۱۲/۵ cm و (ب) ۲۵ cm.

۲/۶ و دیواره داخلی $10/6 \mu$ است. علت این امر را می‌توان به انعقاد آهسته‌تر دیواره بیرونی نسبت به دیواره داخلی در فواصل هوای بیشتر مربوط دانست [۱]. زیرا، در حالت فاصله هوای 25 cm ، جداره بیرونی ۱۲/۵ cm الیاف بعد از گذشت زمانی حدود ۲ برابر حالت فاصله هوای $12/5 \text{ cm}$ در مجاور حمام انعقاد قرار می‌گیرد و در این مدت فرایند انعقاد تنها در جداره داخلی در حال انجام است. همین مسئله باعث جابه جایی بیشتر فاز رقیق پلیمر به سمت جداره بیرونی می‌شود، به طوری که جداره داخلی غشا ضخیم‌تر و جداره بیرونی نازکتر می‌شود.

با اندازه گیری حفره‌های بخش اسفنجی به وسیله SEM مشخص شد که اندازه آنها از مقدار متوسط 631 nm در غشای بدست آمده از فاصله هوای $12/5 \text{ cm}$ به مقدار متوسط 431 nm در غشای حاصل از فاصله هوای 25 cm کاهش یافته است، یعنی با افزایش فاصله هوای، به علت



(الف)



(ب)

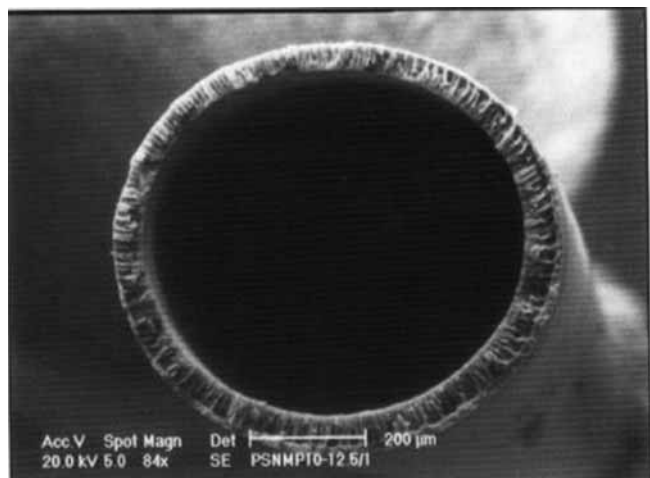
شکل ۳ تصویر SEM از مقطع غشای پلی‌سولفون در دی‌متیل فرمامید با فاصله هوای 25 cm .

می دهد که قطر این حفره ها از مقدار حداقل $12\text{ }\mu\text{m}$ در فاصله هوایی $12/5\text{ cm}$ به مقدار $15\text{ }\mu\text{m}$ تا $20\text{ }\mu\text{m}$ برای فاصله هوایی 25 cm افزایش می یابد که ناشی از وارونگی فاز در لایه خارجی غشا قبل از قرار گرفتن در حمام انعقاد و بهم پیوستن بیشتر فاز رقیق از پلیمر در سطح غشا در فاصله هوایی 25 cm است [۱].

با اندازه گیری قطر خارجی این غشاهای استفاده از قابلیت SEM در اندازه گیری فاصله طولی و عرضی شکلها، مشخص شد که قطر خارجی الیاف بدست آمده در فواصل هوایی $12/5\text{ cm}$ و 25 cm به ترتیب برابر $763\text{ }\mu\text{m}$ و $740\text{ }\mu\text{m}$ است. نتایج مشابهی نیز در غشای حاصل از استات سلولوز گزارش شده است [۷]. با تغییر فاصله هوایی از $5/5\text{ cm}$ به $8/8\text{ cm}$ مقدار قطر خارجی غشا از $940\text{ }\mu\text{m}$ به $960\text{ }\mu\text{m}$ کاهش یافته است. کشیده شدن بیشتر الیاف نو ظهور در اثر نیروی وزن با افزایش فاصله هوایی موجب کاهش قطر خارجی غشا می شود.

شکل ۵ تصویر SEM از مقطع الیاف توخالی پلی سولفون را در N- متیل پیرولیدون نشان می دهد. همان طور که در این شکل نشان داده شده است، این غشا ساختار متخلخل انگشتی دولایه ای دارد که در لایه داخلی خلل و فرج از سطح داخلی غشا آغاز شده، تا نزدیکی لایه خارجی ادامه می یابد. لایه داخلی غشای نسبت به لایه خارجی ضخیم تر و بین لایه داخلی و خارجی درشت جبارهایی ایجاد شده است. انتقال جرم سریع در فصل مشترک محلول - ضد حلال در مراحل اولیه جامد شدن و جریانهای شعاعی در محیط انعقاد داخلی سبب ایجاد متخلخل انگشتی و مویین در لایه سطحی می شود [۲۰، ۲۱]. با توجه به این که انتقال جرم در مراحل اولیه از سمت داخل انجام می شود، فاز جامد ایجاد شده سبب کاهش سرعت انتقال حلال از سمت داخل و ایجاد لایه متخلخل لوله ای پس از قرار گرفتن لایه خارجی غشا در محیط انعقاد، با انجام فرایند وارونگی فاز از سمت بیرون می شود.

تفاوت شکل شناسی غشای پلی سولفون در N- متیل پیرولیدون و دی متیل فرمامید ناشی از تفاوت در قابلیت انحلال پذیری و تفاوت مقدار برهمکنش حلال - ضد حلال بکار رفته است. نوع حلال بکار رفته در نوع محصول و ساختار نهایی غشا بسیار اثرگذار است، مثلاً اگر پلیمر با حلالهایی نظیر ترا هیدروفوران و استون و ضد حلال آب بکار رود، غشای حاصل دارای ساختار چگال خواهد بود، ولی اگر از حلالهایی با قطبیت بیشتر نظیر دی متیل سولفوکسید و دی متیل فرمامید و ضد حلال آب استفاده شود، غشایی با ساختار متخلخل بوجود می آید. این اختلاف به لحظه ای که فرایند وارونگی اتفاق می افتد نسبت داده می شود. در مورد اول، وارونگی تأخیری و در مورد دوم وارونگی لحظه ای اتفاق می افتد [۲۲]. در سامانه پلیمر - حلال - ضد حلال مقدار سازگاری جفت‌های حلال - ضد حلال، پلیمر - حلال و پلیمر - ضد حلال



(الف)



(ب)

شکل ۵ تصویر SEM از مقطع غشای پلی سولفون در N- متیل پیرولیدون با فاصله هوایی $12/5\text{ cm}$.

وجود N- متیل پیرولیدون به عنوان حلال برای پلیمر به علت برهمکنش بهتر آن با پلیمر و برهمکنش ضعیفتر آن با آب دارای وارونگی کندتری نسبت به دی‌متیل فرمامید است. بنابراین، فرصت لازم برای بهم پیوستن هسته‌های فاز رقیق از پلیمر به علت انقاد آهسته‌تر نسبت به دی‌متیل فرمامید را داراست. در نتیجه، در راستای خروج حلال از پلیمر مجموعه‌ای مجاری موازی (تخلخل انگشتی) در ساختار پلیمر ایجاد می‌شود.

در ساختار غشاهای حاصل از هر دو محلول پلی‌سولفون در N- متیل پیرولیدون و دی‌متیل فرمامید درشت جبابهایی محصور بین پوسته داخلی و خارجی جداره مشاهده می‌شود که نتیجه وارونگی فاز لحظه‌ای است. به طور کلی بر همکنش حلالهای N- متیل پیرولیدون و دی‌متیل فرمامید با آب زیاد است و موجب وقوع وارونگی فاز لحظه‌ای در محلول می‌شود. این درشت جبابها حاصل فرایند وارونگی مایع - مایع هستند. هسته فاز رقیق از پلیمر موجب تشکیل این درشت جبابها می‌شود. با ایجاد هسته‌های فاز رقیق از پلیمر و رشد آنها به علت نفوذ حلال در آن، تاجایی که غلظت پلیمر در جداره این هسته به مقدار لازم برسد (تا جامد شدن بوجود آید)، درشت جبابها ایجاد می‌شوند [۲۲].

نتیجه‌گیری

در این پژوهش، غشاهای الیاف توخالی پلی‌سولفون به روش وارونگی فاز مرتبط - خشک ساخته شد. بر اساس نتایج تجربی بدست آمده، افزایش فاصله هواپی سبب کاهش قطر الیاف، کاهش تخلخل سطح بیرونی و افزایش نقایص در سطح بیرونی غشا شده است. بر اساس تحلیلهای انجام شده مشخص شد که در حالت استفاده از حلال دی‌متیل فرمامید ساختار غشا، اسفنجی شکل همراه با درشت جبابهای در عرض است، در حالی که ساختار غشا حاصل از محلول پلی‌سولفون در N- متیل پیرولیدون به شکل انگشتی دو لایه است. تفاوت بدست آمده در ساختار غشا با تغییر حلال، به علت تفاوت در قابلیت انحلال‌پذیری حلال و سرعت جامد شدن محلول پلیمری است.

جدول ۲ پارامتر انحلال‌پذیری $(J/cm^3)^{0.5}$) هانسن برای حلالها و ضدحلال بکار رفته در این پژوهش.*

ماده	δ_t	δ_d	δ_h	δ_p
N- متیل پیرولیدون	۲۲/۹۳	۱۸	۷/۱۶	۱۲/۲۷
دی‌متیل فرمامید	۲۲/۷۴	۱۷/۴	۱۰/۲۳	۱۳/۷
آب	۴۷/۸۴	۱۵/۵۵	۴۲/۳۴	۱۵/۹۶

* زیروندهای δ_t , δ_d و δ_p به ترتیب نشانگر پیوند هیدروژنی، پراکنشی، قطبی و کل هستند.

ضعیفتری با پلی‌اتر ایمید دارند. علت برهمکنش ضعیف آب با این پلیمر، آبگریز بودن پلی‌اتر ایمید است. همچنین، در بررسی اثر حلالهای N- متیل پیرولیدون و دی‌متیل استامید روی پلی‌سولفون معین شد که به علت قطبیت بیشتر دی‌متیل استامید نسبت به N- متیل پیرولیدون، قابلیت انحلال‌پذیری دی‌متیل استامید برای پلی‌سولفون که پلیمری آبگریز است کمتر از قابلیت انحلال‌پذیری N- متیل پیرولیدون است. بنابراین، برهمکنش قطبی آب و الكل با دی‌متیل استامید بیشتر از N- متیل پیرولیدون بوده، انعقاد پلیمر با وجود مقدار کمتری از ضدحلال در محلول پلیمری اتفاق خواهد افتاد. نتیجه امر این است که وارونگی فاز در محلول پلی‌سولفون در دی‌متیل استامید سریعتر از محلول پلی‌سولفون در N- متیل پیرولیدون وقوع می‌یابد [۱۶, ۱۷].

با توجه به جدول ۲ مقدار δ_h حلال دی‌متیل فرمامید بیشتر از حلال N- متیل پیرولیدون است. بنابراین، می‌توان نتیجه گرفت که دی‌متیل فرمامید حلالی قطبی تر نسبت به N- متیل پیرولیدون است. همچنین، برهمکنش بین مولکولهای دی‌متیل فرمامید و پلی‌سولفون کمتر است و برهمکنش قطبی ضد حلal آب با دی‌متیل فرمامید نسبتاً بیشتر از N- متیل پیرولیدون و آب است. بنابر آنچه قبل ذکر شد، این امر موجب می‌شود که اثر انحلال‌پذیری حلال دی‌متیل فرمامید در محلول کاهش یافته و سریعتر از N- متیل پیرولیدون وارونگی اتفاق افتاد. به همین علت ایجاد هسته‌های فاز رقیق از پلیمر و انعقاد سریع پلیمر در محلول مشاهده می‌شود که با خروج حلال جبابهای اسفنجی در (بخشهای ظاهرًا چگال) سامانه تشکیل می‌شود.

مراجع

- Shen L.Q., Xu Z.K., Liu Z.M. and Xu Y.Y., Ultrafiltration Hollow Fiber Membranes of Sulfonated Polyetherimide/Polyetherimide Blends: Preparation, Morphologies and Anti-fouling Properties, *J. Membr. Sci.*, **218**, 279-293, 2003.
- Xu Z.K., Shen L.Q., Yang Q., Liu F., Wang S.Y. and Xu Y.Y., Ultrafiltration Hollow Fiber Membranes from Poly(ether imide):

- Preparation, Morphologies and Properties, *J. Membr. Sci.*, **223**, 105-118, 2003.
3. Huang Q., Seibig B. and Paul D., Polycarbonate Hollow Fiber Membranes by Melt Extrusion, *J. Membr. Sci.*, **161**, 287-291, 1999.
 4. Albrecht W., Weigel Th., Schossig-Tiedemann M., Kneifel K., Peinemann K.-V. and Paul D., Formation of Hollow Fiber Membranes from Poly(ether imide) at Wet Phase Inversion Using Binary Mixtures of Solvents for the Preparation of the Dope, *J. Membr. Sci.*, **192**, 217-230, 2001.
 5. Xiuli Y., Hongbin C., Xiu W. and Yongxin Y., Morphology and Properties of Hollow-Fiber Membrane Made by PAN Mixing with Small Amount of PVDF, *J. Membr. Sci.*, **146**, 179-184, 1998.
 6. Strathmann H., Production of Microporous Media by Phase Inversion Process, *Materials Science of Synthetic Membranes*, Lloyd D.R. (Ed.), ACS Symposium Series, Washington, **269**, 165-196, 1985.
 7. Qin J.J., Li Y., Lee L.-S. and Lee H., Cellulose Acetate Hollow Fiber Ultrafiltration Membranes Made from CA/PVP 360 K/NMP/Water, *J. Membr. Sci.*, **218**, 173-183, 2003.
 8. Liu Y., Koops G.H. and Strathmann H., Characterization of Morphology Controlled Polyethersulfone Hollow Fiber Membranes by the Addition of Polyethylene Glycol to the Dope and Bore Liquid Solution, *J. Membr. Sci.*, **223**, 187-199, 2003.
 9. Chung T.-S. and Hu X., Effect of Air-gap Distance on the Morphology and Thermal Properties of Polyethersulfone Hollow Fibers, *J. Appl. Polym. Sci.*, **66**, 1067-1077, 1997.
 10. Qin J.-J. and Chung T.-S., Effects of Orientation Relaxation and Bore Fluid Chemistry on Morphology and Performance of Polyethersulfone Hollow Fibers for Gas Separation, *J. Membr. Sci.*, **229**, 1-9, 2004.
 11. Cao C., Chung T.-S., Chen S.B. and Dong Z.J., The Study of Elongation and Shear Rates in Spinning Process and its Effect on Gas Separation Performance of Poly(ether sulfone) (PES) Hollow Fiber Membranes, *Chem. Eng. Sci.*, **59**, 1053-1062, 2004.
 12. Chung T.-S., Teoh S.K. and Hu X., Formation of Ultrathin High-performance Polyethersulfone Hollow-fiber Membranes, *J. Membr. Sci.*, **133**, 161-175, 1997.
 13. Qin J.-J., Wang R. and Chung T.-S., Investigation of Shear Stress Effect within a Spinneret on Flux, Separation and Thermomechanical Properties of Hollow Fiber Ultrafiltration Membranes, *J. Membr. Sci.*, **175**, 197-213, 2000.
 14. Wang D., Li K. and Teo W.K., Preparation of Asymmetric Polyetherimide Hollow Fiber Membrane with High Gas Selectivities, *J. Membr. Sci.*, **208**, 419-426, 2002.
 15. Gordeyev S.A. and Shilton S.J., Forced Convection Spinning of Gas Separation Hollow Fibre Membranes: Some Underlying Factors, Mechanisms and Effects, *J. Membr. Sci.*, **229**, 225-233, 2004.
 16. Wang D., Li K. and Teo W.K., Phase Separation in Polyether-imide/Solvent/ Nonsolvent Systems and Membrane Formation, *J. Appl. Polym. Sci.*, **71**, 1789-1796, 1999.
 17. Wang D., Li K., Sourirajan S. and Teo W.K., Phase Separation Phenomena of Polysulfone/Solvent/Organic Nonsolvent and Polyethersulfone/Solvent/Organic Nonsolvent Systems, *J. Appl. Polym. Sci.*, **50**, 1693-1700, 1993.
 18. Kesting R.E. and Fritzsche A.K., *Polymeric Gas Separation Membranes*, John Wiley& Sons, New York, Chap. 5, 1993.
 19. Carruthers S.B., Ramos G.L. and Koros W.J., Morphology of Integral-skin Layers in Hollow-fiber Gas Separation Membranes, *J. Appl. Polym. Sci.*, **90**, 399-411, 2003.
 20. Xu Z.-L. and Qusay F.A., Polyethersulfone (PES) Hollow Fiber Ultrafiltration Membranes Prepared by PES/Non-solvent/NMP Solution, *J. Membr. Sci.*, **233**, 101-111, 2004.
 21. Torrestiana-Sancheza B., Ortiz-Basurtoa R.I. and Brito-De La Fuente E., Effect of Non-solvents on Properties of Spinning Solutions and Polyethersulfone Hollow Fiber Ultrafiltration Membranes, *J. Membr. Sci.*, **152**, 19-28, 1999.
 22. Mulder M.H.V., *Basic Principles of Membrane Technology*, Kluwer Academic, Netherland, Chap. 3, 1996.